

Abb. 4. — Stenogastrer Hinterleib vom *Teleutomyrmex*-♀. Aufsichtsbild. — a) Kropf; b) Valvula cardiaca; c) Mitteldarm; d) Valvula pylorica; e) Rektum; f) Rektalpapille; g) Anus; h) Malpighigefäße; i) Ovar; j) Paariger Eileiter; k) Receptaculum seminis; l) Unpaarer Eileiter; m) Bursa copulatrix.

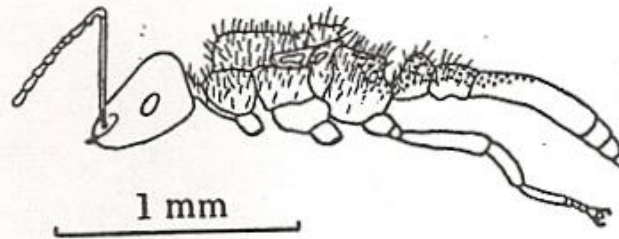


Abb. 10. — *Teleutomymex*-♀.
Die Lage der Drüsenhaare ist mit Strichen, die Lage der Chitinporen mit Punkten angedeutet.

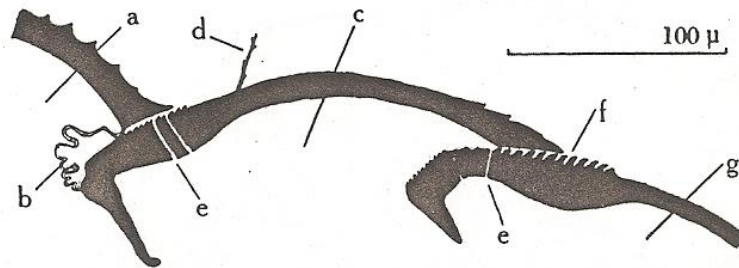


Abb. 15. — Stridulationsapparat vom *Teleutomymex*-♀. — a) Petiolus; b) Intersegmentalhaut; c) Postpetiolus; d) Pinselhaar; e) Chitinporen; f) Chitinleisten; g) Abdomen.

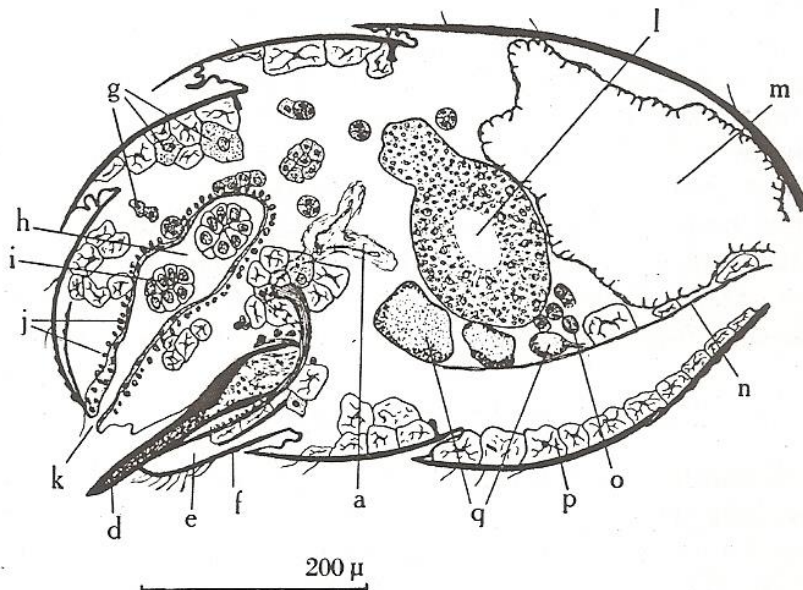


Abb. 16 a. — Stachelapparat vom *Teleutomymex*-♀. — a) Giftblase; d) Stachel; e) Vagina; g) Oenocyten; h) Rektum; i) Rektalpapille; j) Muskulatur; k) Anus; l) Mitteldarm; m) Kropf; n) Diaphragma; o) Malpighigefäße; p) Fettzellen; q) Ganglien.

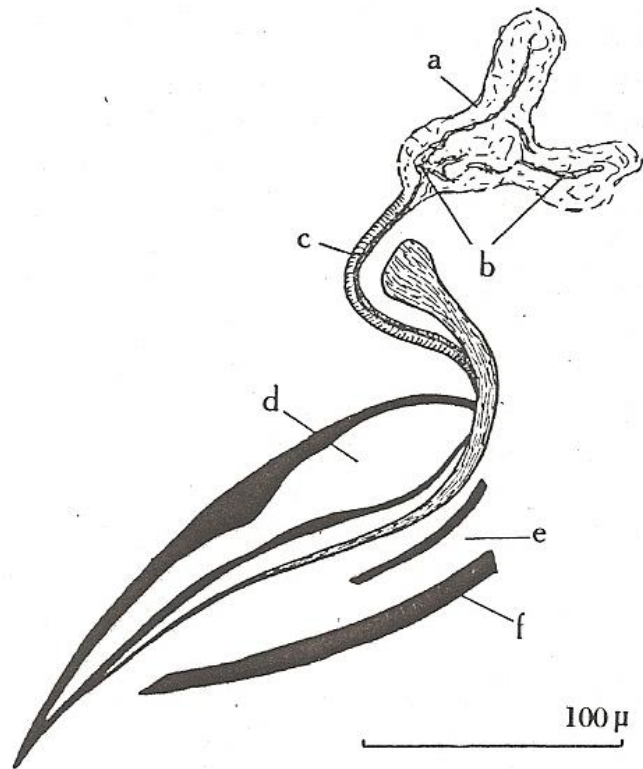


Abb. 16 b. — Stachelapparat vom *Teleutomyrmex*-♀, vergrößert. —
 a) Giftblase; b) Lumen der Gift-
 blase; c) Ausführungsgang der Gift-
 blase; d) Stachel; e) Vagina;
 f) 4. Sternit.

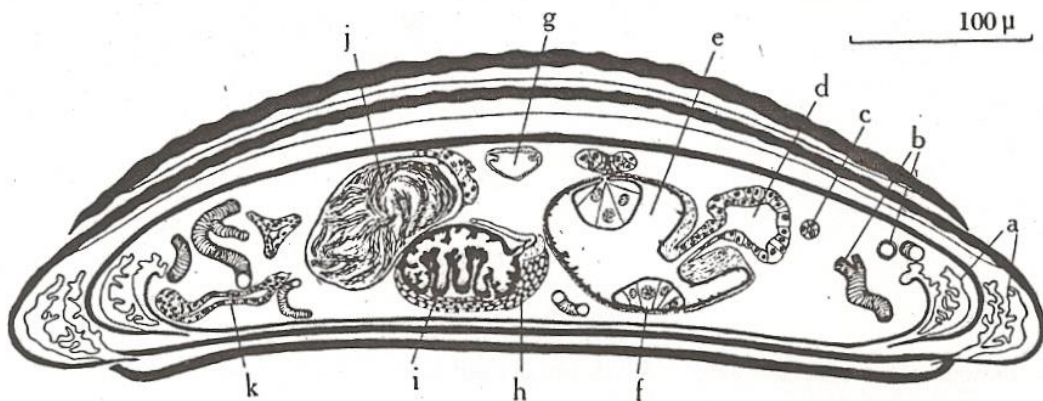


Abb. 20. — Querschnitt durch stenogastren Hinterleib vom *Teleutomyrmex*-♀. —
 a) Intersegmentalhäute; b) Tracheen; c) Malpighigefäss; d) Intestinum; e) Rektum;
 f) Rektalpapille; g) Herz; h) Muskulatur; i) Unpaarer Eileiter; j) Receptaculum
 seminis; k) Giftdrüse.